

# 海外 新技術・新製品

- ◇ 赤外線平面像에 의한 發電機의 異狀檢出
- ◇ 터어빈 風熱에 의한 에너지의 回收
- ◇ 美國멕시코州의 風力發電시스템
- ◇ 無브러시 發電機의 開發

KORSTIC 技術部提供

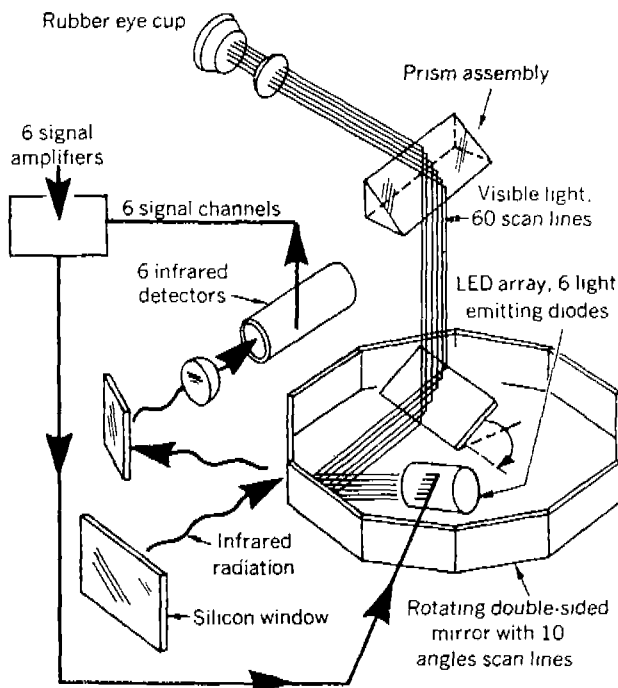
## [赤外線平面像에 의한 發電機의 異狀檢出]

美國의 Hughes Aircraft社가 製造한 probeye赤外線裝置가 Southern California Edison社의 Big Creek水力發電所에서 使用되어 큰效果를 올렸다.

生物이나 非生物을 不問하고 物體는 대부분 赤外線을 放射하는 데 이 때의 에너지는 物體의 温度에 關係된다.

Probeye는 對象物에서 放射되는 赤外線에너지를 可視光線으로 變換하여 2次元像으로 認識하는 것과 같은 것으로서  $0.1^{\circ}\text{C}$  的 温度差를 檢出할 수 있다. 또한 發電機의 積層鐵心에 대한 絶緣破壞나 코일의 層間短絡 등에 의한 温度上昇 등의 事故를 未然에 防止할 수 있다.

裝置의 構成은 光學系, 走査機構, 赤外線센서와 低溫維持裝置, 信號處理用 電子回路 및 視準裝置로 構成되어 있다. 이것들은 電源用인 2個의 充電式 Ni-Cd電池와 더불어  $6 \times 8 \times 9$  in의 알루미늄케이스에 内藏되어 있다.



[그림 1] 變調形 發光다이오드排列의 走査

對象物에서 放射되는 赤外線은 실리콘窓을 通하며 走査機構 중 十角形의 回轉鏡에서 6素子의 赤外線센서에 集中되어 電氣信號로 變換된 후 增幅된다.

또한 十角形의 回轉鏡 内部에

設置된 6個 LED(發光다이오드)의 發光을 變調하고 60本의 走査線으로 構成된 像을 形成하여 아이피스(eye Piece)로서 檢查할 수 있다.

## [터어빈廢熱에 의한] [에너지의回收]

現在產業體에서는 에너지의 코스트가 상당히 높은比重을 차지하고 있다. 그러나 터어보이스팬더가 開發됨으로써 有機液體를 媒體로 한 가스터어빈이나 테시프로 機關에서 廢熱를 回收하여 動力으로 變換하는 것이 可能하다고 한다.

本 動力回收시스템은 作動流體(푸탄)가 서어지탱크 中에 80psia, 130°F로서 凝縮되는데 液은 水平遠心펌프로서 1040psia로 加壓되어 多管式 热交換器에서 歸還되는 液과 热交換으로서 約300°F로 加熱된다.

그리고 再次 1,000°F의 터어빈廢熱를 發源으로 하는 蒸發器에 넣으면 500°F, 1,015psia가 되는데 後에 래디얼流入形의 터어보액스팬더에 들어가 壓縮器用 또는 發電機用 動力を 얻게 된다.

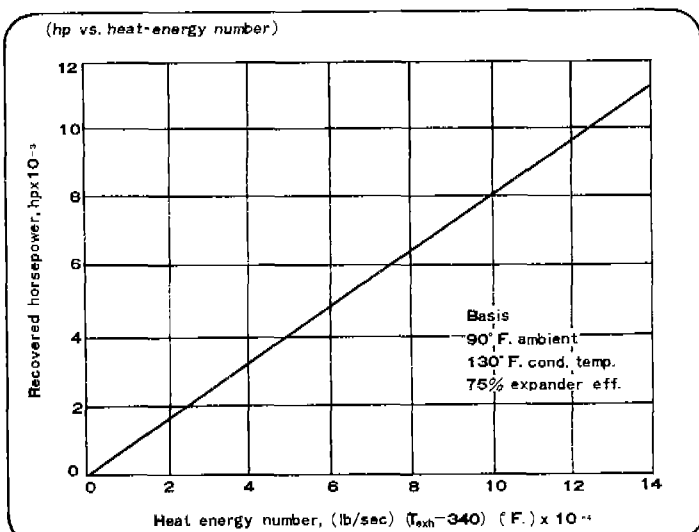
i) 時點에서 流體는 約 95psia 365°F가 되나 蒸發器의 液과 热交

換되어 150°F가 되며 再次 空冷되어 130°F가 되어 서어지탱크에 되돌아온다. 海上施設인 경우에는 水冷을 使用할 수 있으나 부탄 代身 프로판을 利用하면 凝縮部가 約250psia가 된다.

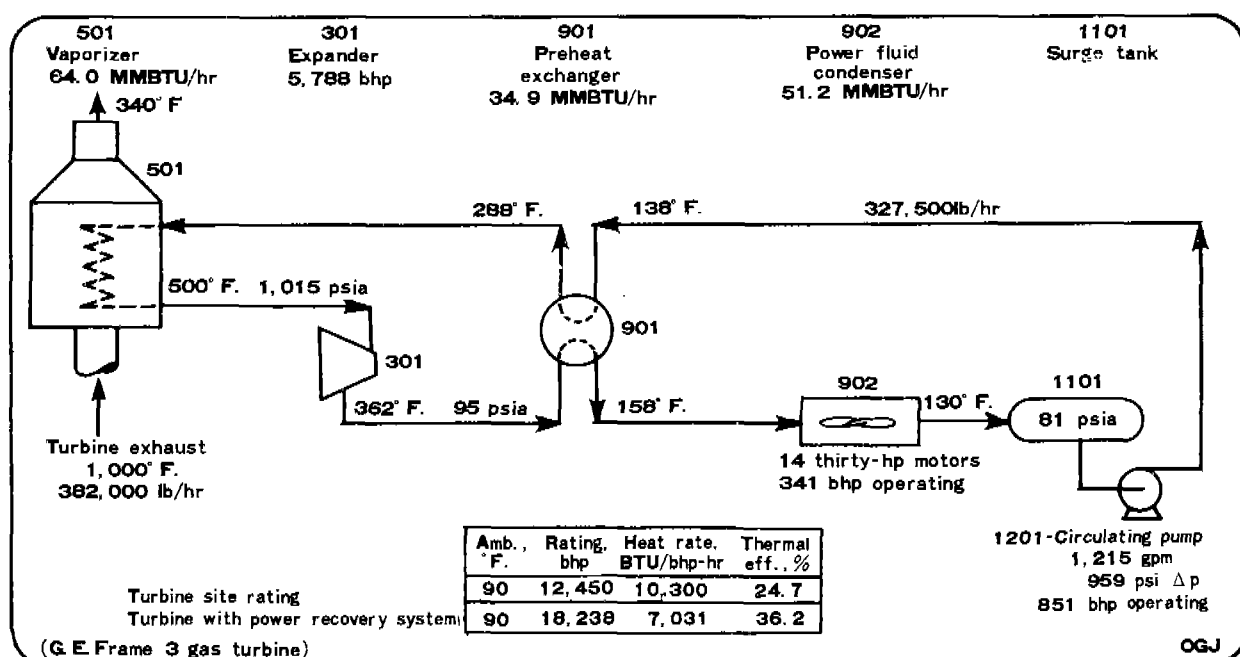
本 시스템에 使用되는 裝置는 全體의 評價가 되어있는 것으로서 回轉部分이 액스팬더와 펌프 및 팬만으로 되어있으므로 運轉上 信賴性이 매우 높다.

本 시스템에 관한 構成例를 보

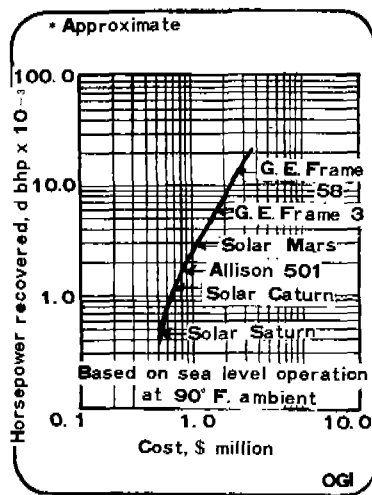
(그림 3) 電力回收費用



(그림 2) PRP-35의 電力回收 시스템



[그림 4] 電力 回收費用



면 다음과 같다. 가스터어빈은 G E社의 Frame 3 (排氣溫度 1000°F, 排氣量 382,000 lb/h)로서 吸氣와 排氣의 損失水頭는 각각 3 in, 8 in로서 立地는 海拔 zero이며, 氣溫은 90°F이다.

여기에서 動力回收率(=PR)을 空冷으로 適用하면 約

[表 1] 電力 回收能力

Turbine	PRP-35, bhp	Total hp	Heat rate, BTU/bhp	Thermal eff., %
Solar Centaur .....	1,350	4,625	7,421	34.3
Allison 501 .....	1,668	5,218	6,837	37.2
Solar Mars .....	2,918	11,410	6,500	39.1
G.E. Frame 3 .....	5,788	18,238	7,031	36.2
G.E. Frame 5B .....	1,070	38,520	7,048	36.1

5,788bhp를 回收할 수 있으며 動力은 가스터어빈과 直並列로 가스壓縮器를 動作시켜 發電機를 돌린다. 여기에 必要한 유털리티는 1050KW로서 海上施設에서 水冷으로 하면 6,000bhp를 回收할 수 있다.

그리고 立地條件이 同一한 경우 回收할 수 있는 動力を 5種類의 터어빈 즉 Solar Centaur, Allison 501, Solar Mars, G.E. Frame 3 및 G.E. Frame 5B에 대해서 回收可能動力와 热效率을 試算한 結果 PRP~35의 所要유털리티는 回收動力의 18~22%였으며一般的으로 回收動力은 排

[表 2] 廢熱器, 콘덴서 및 스키드의 仕様

	Size, ft	Weight, lb
Waste - heat		
unit	9 W × 27L × 37H	225,000
Condenser		
(air - cooled)	84 × 42	245,000
Skid		
(air - cooled)	14 × 42	220,000
Skid		
(water - cooled)	14 × 50	290,000

氣溫度 ~340°F에 比例하는데 回收動力에 따라서 코스트를 推算할 수 있다.

## 美國 멕시코卅의 風力發電시스템

本 風力發電시스템은 Clayton發電所의 7臺디이젤發電機와 連結되어 200KW의 出力 즉 Clayton에 있어서 off-peak時 全電力負荷15%를 供給할 수 있다.

技術的인 評價는 進行中에 있으며 運用과 維持의 經費는 今後充分히 分析되어야 한다. 使用되고 있는 風力터어빈은 美國에너지省의 NASA Mod O-A로서 40/min의 回轉子이며 22.4mile/h의 風速時 200KW의 出力を 얻을 수 있다.

本 風力發電시스템은 NASA의 Lewis研究센터의 指導로서 We-

stinghouse Electric社가 設置하였으며 運用과 維持를 Clayton電力會社에 引渡하여 1978年 1月 28일에 서버비스를 開始한 것이다.

78年 5月末 運用時間은 1000 h에 到達했으며 紙電網에 10萬kWh을 供給하였다. 그리고 一定한 檢查를 行한 結果 正常의 摩耗를 表示하였다. 62.5ft의 날개는 78年 6月에 修理를 하였다. 風力터어빈은 風速이 22.4mile/h에 到達할 때까지 出力은 風速의 3乘에 比例하여 增加하고 以上이 되면 날개의 週期角制御에 의하여 出力은 200KW로 保持된다.

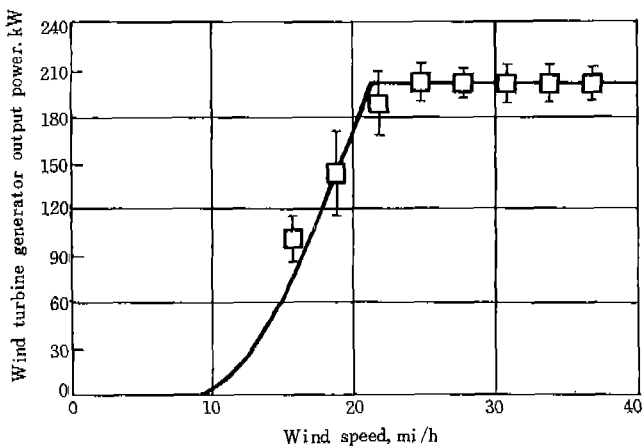
正의 出力電力を 發生하는 最小風速은 9.5mile/h로서 回轉子의 回轉은 軸과 커프링 및 45:1의 齒車列로 構成된 驅動機構

에 의하여 發電機의 同期動作에 必要한 1800r/min의 回轉으로 變換된다.

Intel社 8080의 8비트 마이크로프로세서와 256byte의 RAM, 2K byte의 EPROM 등이 風車塔의 制御室에 設置되어 있으며 廣範圍한 風速領域에서 始動, 停止, 同期의 制御 및 風向에 따른 回轉子의 姿勢制御, 作動과 環境異常에 대한 防御制御 등을 行한다.

風力터어빈 Mod O-A는 回轉速度 2倍에 該當하는 1.33Hz의 自然モード를 가지며 周波數은 風車塔의 그림자와 바람의 剪斷効果로서 發生된다. 그리고 塔의 基部 近方에서 생기는 低風速部를 날개가 通過할 때 그림자의 影響이 있으며 바람의 剪斷은 周

[그림 5] 여러가지 風速에 의한 Clayton 風力 發電시스템의 理論出力



邊의 地形特徵에서 起因하는 低風速인 것이다.

Clayton의 電力시스템은 7基의 디이젤發電機에 의하여 放射狀의 配電系를 形成하고 있으며 別個의 送電線이 各各 病院, 高校, 送電支線束 및 發電所 内部需要에 使用되고 있다.

本 시스템의 400KW 1基, 1700KW 1基, 1000KW 2基, 1250KW 3基의 각 유닛은 디이젤油 또는 20%디이젤油와 80%天然gas의 混合油 어느 것에도 運轉될 수 있는 2重燃料 디이젤機關으로서

코울드스타트에서 3 ~ 7 min의 短時間에 運用되어 全稼動에 들어가게 된다.

또한 1250KW 2基를 主유닛으로 해서豫定된 負荷에 따라서 每日 其他 유닛과 組合을 行하며 定格出力を 50KW 下回하는 것을 最大 規定負荷로 定하고 있다.

基本的인 制御시스템은 시스템 周波數와 時間의 制御로 시스템 周波數는 主유닛으로 決定되어 水晶時計는 標準時刻으로 調整되어 8秒 以内에 誤差로 維持된다. 風力터어빈發電機는 여기에 連結

되어 使用된다.

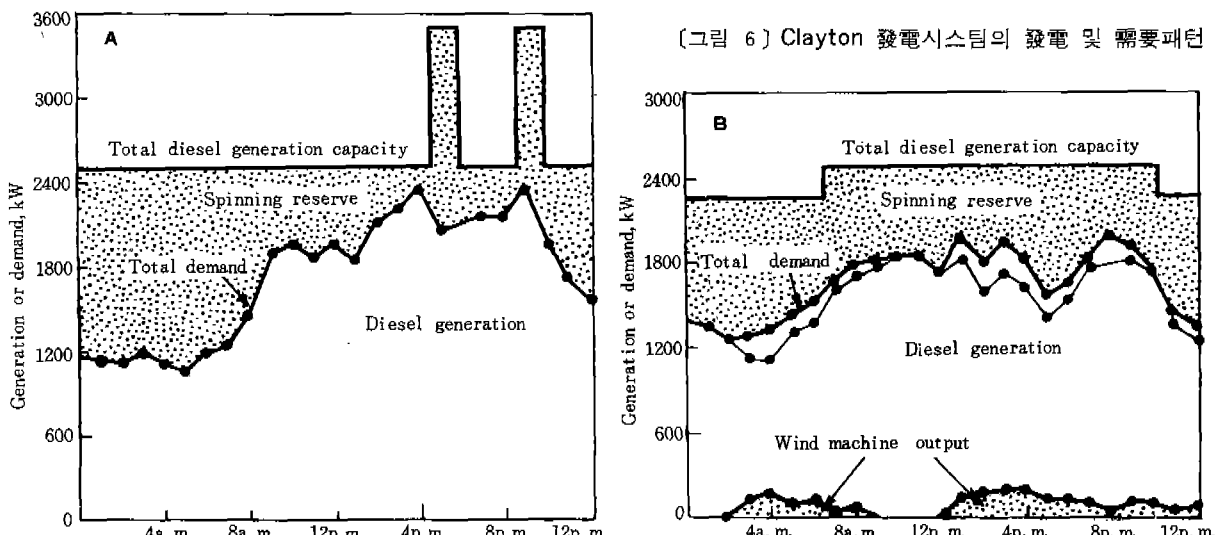
本 Clayton시스템의 一般的인 性能은 시스템의 變動과 風速이 理想的인 狀態이나 風力發電機의 시스템에의 效果는 적으며, 또한 出力의 變動幅은 디이젤發電機의 變動幅인 50KW보다 적어서 20KW 정도이다.

바람이 定常의이며 시스템側의 變動이 큰 경우에도 平均出力を 一定한 200KW로서 시스템周波數의 變化에 影響을 받지 않으나, 出力의 變動幅은 約 30KW에 達한다.

시스템側이 安定하고 風速의 變動이 있는 경우에는 發電機의 出力變動은 上記한 2 가지의 中間值가 된다. 한편 風速도 變動하여 시스템側의 變動이 있는 最悪의 경우 突風이 出力에 影響을 주나 시스템周波數의 逸脫을 일으키는 데까지는 到達하지 않는 다.

그리고 Clayton 風力터어빈의 運用으로서 TV障害나 烏의 衝突死 또는 構造的인 美觀 등의 問題는 없었다.

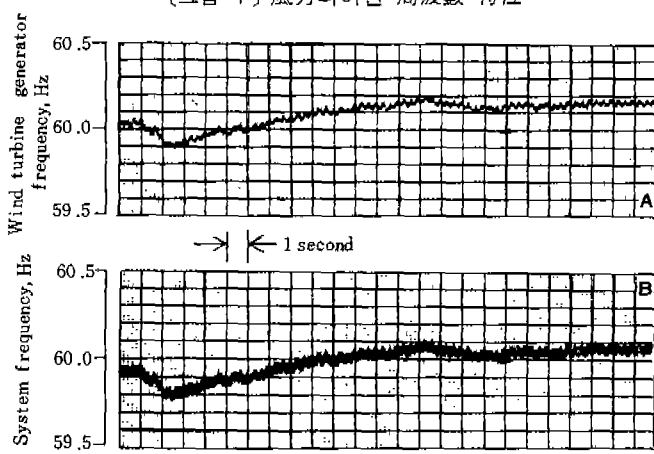
[그림 6] Clayton 發電시스템의 發電 및 需要 패턴



[表 3] 200KW 風力터어빈設計 仕様

Rotor		Generator	
Number of blades	2	Type	Synchronous ac
Diameter, ft	125	Rating, kVA	250
Speed, r/min	40	Power factor	0.8
Direction of rotation	Counterclockwise (looking upwind)	Voltage, V	480(three phase)
Location relative to tower	Downwind	Speed, r/min	1800
Type of hub	Rigid	Frequency, Hz	60
Method of power regulation	Variable pitch	Orientation drive	
Cone angle, degrees	7	Type	Ring gear
Tilt angle, degrees	0	Yaw rate, r/min	1 / 6
Blade		Yaw drive	Electric motors
Length, ft	59.9	Control system	
Material	Aluminum	Supervisory	Microprocessor
Weight, lb/blade	2300	Pitch actuator	Hydraulic
Airfoil	NACA23,000	Performance	
Twist, degrees	26.5	Rated power, kW	200
Solidity, percent	3	Wind speed at 100 ft, mi/h	9.5
Tip chord, ft	1.5	Cut in	9.5
Root chord, ft	4	Rated	22.4
Chord taper	linear	Cut-out	40
Tower		Maximum design	150
Type, ft	Pipe truss	Weight, 1000 lb	
Height, ft	93	Rotor (including blades)	12.2
Ground clearance, ft	37	Above tower	44.9
Hub height, ft	100	Tower	44.0
Access	Hoist	Total	88.9
Transmission		System life	
Type	Three-stage conventional	All components, yr	30
Ratio	45:1		
Rating, hp	460		

[그림 7] 風力터어빈 周波數 特性



### 無브러시發電機의 開發

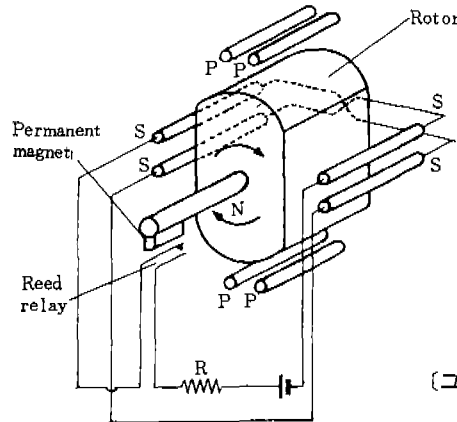
새로운 形의 無브러시發電機를  
英國 Hull 大學의 Midgley 氏가  
提案했다.

2 次側에 磁氣부스터코일을 組  
込하고 1 次電池에서 電流를 얻  
어 솔리드로우터의 磁化를 돋는  
다. 한편 2 次코일은 ロ우터의  
回轉에 따라서 開閉되어며 1 次코  
일에 減磁反作用이 發生하지 않  
도록 하고 있다.

凸極ロ우터가 回轉하면 殘留磁  
氣로서 單回코일의 一次 導體에

起電力이 誘起되며 整流器를 通해서 蓄電池에 電流가 充電된다. 그리고 ロ우터軸에 附着된 小形永久磁石에 의하여 回轉角間에 리아드릴레이스위치가 作動하는 데 스위치가 閉鎖되면 制御抵抗을 經由하는 蓄電池로부터 電流가 電次導體에 흘러 여기서 回轉子의 磁化가 助成된다.

誘起起電力은 回轉子의 速度에 關係되므로 蓄電池는 어느 速度를 넘으면 再充電된다. 또한 限界速度는 實用能力의 範圍内에 있게 된다.



[그림 8] Hull 大學에서 開發한  
無 布러시 發電機

1. Electrical world(79/11-2, 80/1-2, 80/2-1, 80/2-2, McGraw-Hill Publication)
2. Automation & Remote Control(79/6-2, 79/7-1, Plenum Publishing Corporation)
3. 日立評論(80/2, 日立評論社)
4. 研究實用化報告(79/12, 80/1, 日本電信電話公社)
5. 生產と電氣(80/3, 日本電氣協會)
6. 電子展望(80/4, 誠文堂新光社)
7. 明電時報(150號, 明電舎)
8. 電氣學會雜誌(80/3, 日本電氣學會)
9. 電氣協會雜誌(80/4, 日本電氣協會)
10. 省エネルギー(80/3, 省エネルギーセンター)
11. 技研月報(80/3, 日本放送出版協會)
12. 주간자원정보(102號, 103號, 104號 자원개발연구소)
13. 가정과 에너지(80/3, 한국열관리협회)
14. 전기용품(80/2, 3, 한국전기용품제조협회)
15. 열관리(80/3, 한국열관리협회)
16. 한국전력통계1979(80/2, 한국전력)
17. 전기공업(80/4, 전기공업협동조합)
18. 과학기술문헌독보(80/3, KORSTIC)
19. 플랜트·건설수출(80/3, " )
20. 전신전화연구(80/4, 한국전기통신산업연구소)
21. 전기기술(80/4, 전기기술문화사)
22. 원간한전(80/3, 한국전력)
23. 전기기사(80/4, 전기기사협회)

## 當協會가入手한 이달의 資料